

СИСТЕМЫ СИНХРОНИЗАЦИИ, ФОРМИРОВАНИЯ И ОБРАБОТКИ СИГНАЛОВ

№6-2019

---

НАУЧНЫЙ ЖУРНАЛ

---

**СИСТЕМЫ СИНХРОНИЗАЦИИ,  
ФОРМИРОВАНИЯ И ОБРАБОТКИ  
СИГНАЛОВ**

**№6-2019 год**

**Редактория:**

**Пестряков А.В.,** *д.т.н., профессор, декан факультета Радио и Телевидения МТУСИ*

**Кулешов В.Н.,** *д.т.н., профессор Московского энергетического института (ТУ), председатель российского отделения IEEE Circuit and System Society*

**Шинаков Ю.С.,** *д.т.н., профессор, зав. кафедрой радиотехнических систем МТУСИ*

**Варламов О.В.,** *д.т.н., начальник отдела ООНРиПА МТУСИ*

**Алёшин В.С.,** *к.т.н., с.н.с., МТУСИ*

**Аджемов Ар.С.,** *д.т.н., МТУСИ*

**Учредитель:**  
ООО «ИД Медиа Паблишер»

*Номер подписан в печать 01.11.2019 г.*

---

## СОДЕРЖАНИЕ

---

<b>Артёмова Т.К., Гвоздарев А.С.</b> <b>ИССЛЕДОВАНИЕ ВЛИЯНИЯ ХАРАКТЕРИСТИК АНТЕННЫХ РЕШЕТОК МИМО СИСТЕМЫ НА НАДЕЖНОСТЬ СВЯЗИ</b>	<b>4</b>
<b>Вильдерман Е.Н., Белов Л.А.</b> <b>ФОРМИРОВАНИЕ СИГНАЛОВ С ГИПЕРФАЗОВОЙ МОДУЛЯЦИЕЙ ДЛЯ СИСТЕМ СВЯЗИ</b>	<b>10</b>
<b>Витомский Е.В., Михайлов В.Ю.</b> <b>СРАВНИТЕЛЬНАЯ ОЦЕНКА ПОКАЗАТЕЛЕЙ ЭФФЕКТИВНОСТИ УСТРОЙСТВ БЫСТРОГО ПОИСКА ПО ЗАДЕРЖКЕ КОДОВЫХ ПОСЛЕДОВАТЕЛЬНОСТЕЙ</b>	<b>15</b>
<b>Волчков В.П., Манонина И.В., Санников В.Г.</b> <b>ПРЕДСТАВЛЕНИЕ И АНАЛИЗ НЕПРЕРЫВНЫХ СИГНАЛОВ В ПРОСТРАНСТВЕ КОМПЛЕКСНЫХ ЭКСПОНЕНЦИАЛЬНЫХ МОДЕЛЕЙ</b>	<b>20</b>
<b>Гурьянов Е.Д., Прякоров А.Л., Дубов М.А.</b> <b>ПОСТРОЕНИЕ САМООРГАНИЗУЮЩЕЙСЯ РАДИОСЕТИ НА ОСНОВЕ МОБИЛЬНЫХ ОБЪЕКТОВ</b>	<b>27</b>
<b>Кандауров Н.А.</b> <b>СИГНАЛЬНО-КОДОВЫЕ КОНСТРУКЦИИ ДЛЯ НИЗКОСКОРОСТНОЙ ШИРОКОПОЛОСНОЙ ДЕКАМЕТРОВОЙ СВЯЗИ</b>	<b>33</b>
<b>Елизаров А.А., Лаврушин И.Р., Башкевич С.В., Скуридкин А.А.</b> <b>ВЛИЯНИЕ ИЗГИБА НА ЭЛЕКТРОДИНАМИЧЕСКИЕ ПАРАМЕТРЫ RFID МЕТКИ</b>	<b>39</b>
<b>Дмитриев А.С., Мохсени Т.И., Кристинан Мауриско Сьерра-Теран</b> <b>ПРЯМОХАОСТИЧЕСКАЯ ОТНОСИТЕЛЬНАЯ СХЕМА ПЕРЕДАЧИ ДАННЫХ</b>	<b>45</b>
<b>Кренев А.Н., Боровков Ю.Е., Набилкян В.С., Петухов П.Е.</b> <b>КЛАСС РАДИОСИГНАЛОВ С ДОПОЛНИТЕЛЬНОЙ ПОЛЯРИЗАЦИОННОЙ МОДУЛЯЦИЕЙ</b>	<b>51</b>
<b>Иванов Д.В., Рябова М.И., Кисляцкий А.А.</b> <b>РАЗРАБОТКА МЕТОДИКИ И АЛГОРИТМОВ ИССЛЕДОВАНИЯ ПОЛЯРИЗАЦИОННОЙ ПОЛОСЫ КОГЕРЕНТНОСТИ ПРИ КВАЗИЗЕНИТНОМ РАСПРОСТРАНЕНИИ</b>	<b>55</b>
<b>Половеня С.И., Дуйниова Ю.А., Соловьев А.Н., Попова М.С.</b> <b>ОТКАЗОУСТОЙЧИВАЯ СИСТЕМА АВТОМАТИЧЕСКОГО РАЗВЕРТЫВАНИЯ ПЕРЕДВИЖНЫХ СТАНЦИЙ РАДИОСВЯЗИ</b>	<b>69</b>
<b>Слантьев А.Б., Фернанду Карлуш Абелль Гуиза, Олим Жельсон Сильва Фернандес</b> <b>МНОГОКАНАЛЬНАЯ СТРУКТУРА УСТРОЙСТВА МНОГООБЗОРНОГО НАБЛЮДЕНИЯ НА ОСНОВЕ ПРЕОБРАЗОВАНИЯ ХАФА В СОСТАВЕ ОБЗОРНОГО РАДИОЛОКАТОРА</b>	<b>69</b>
<b>Яшина М.В., Таташев А.Г., Доткулова А.С., Сусоев Н.П.</b> <b>ДЕТЕРМИНИРОВАНО-СТОХАСТИЧЕСКАЯ МОДЕЛЬ ТРАФИКА С ВАРИАЦИЕЙ ПСИХОФИЗИОЛОГИЧЕСКИХ СВОЙСТВ ВОДИТЕЛЕЙ</b>	<b>74</b>
<b>Болотов А.О., Варламов О.В.</b> <b>ЭКСПЕРИМЕНТАЛЬНОЕ ИССЛЕДОВАНИЕ МАКЕТА УСИЛИТЕЛЯ ШИМ СИГНАЛА ДЛЯ МОДУЛЯЦИОННОГО ТРАКТА ПЕРЕДАТЧИКА С РАЗДЕЛЕНИЕМ СОСТАВЛЯЮЩИХ</b>	<b>80</b>
<b>Поборчая Н.Е.</b> <b>НЕЛИНЕЙНАЯ ФИЛЬТРАЦИЯ В ЗАДАЧЕ СОВМЕСТНОЙ ОЦЕНКИ МНОЖИТЕЛЕЙ КАНАЛА И ИСКАЖЕНИЙ OFDM СИГНАЛА, ВОЗНИКАЮЩИХ В ТРАКТЕ ПРИЕМНИКА ПРЯМОГО ПРЕОБРАЗОВАНИЯ</b>	<b>85</b>

## ВЛИЯНИЕ ИЗГИБА НА ЭЛЕКТРОДИНАМИЧЕСКИЕ ПАРАМЕТРЫ RFID МЕТКИ

Елизаров Андрей Альбертович,  
НИУ ВШЭ Департамент электронной инженерии, Москва, Россия  
[a.yelizarov@hse.ru](mailto:a.yelizarov@hse.ru)

Лаврухин Илья Романович,  
НИУ ВШЭ Департамент электронной инженерии, Москва, Россия

Башкевич Степан Владисмирович,  
НИУ ВШЭ Департамент электронной инженерии, Москва, Россия

Скуридин Андрей Андреевич,  
НИУ ВШЭ Департамент электронной инженерии, Москва, Россия

### Аннотация

В данной работе обсуждается важный компонент системы радиочастотной идентификации (RFID), а именно RFID-метка и влияние изгиба на ее электродинамические параметры. Метка RFID была смоделирована, и были рассчитаны следующие параметры: коэффициенты матрицы рассеяния (параметр S11), коэффициент стоячей волны по напряжению (VSWR), вертикальные и горизонтальные диаграммы направленности и общее значение. Результаты работы позволят оптимизировать конструкцию RFID-метки таким образом, чтобы достичь оптимальных количественных показателей электродинамических параметров.

### Ключевые слова

RFID, метка, антенна, считыватель, СВЧ, изгиб, электродинамика

### Введение

Некоторой альтернативой многослойным печатным платам, изготовленным по технологии LTCC, являются гибкие печатные платы на основе жидкокристаллических полимеров (LCP) [1]. Такие платы, представляющие практический интерес для радиочастотного и микроволнового диапазонов, еще не получили должного распространения из-за сложности производственного процесса и необходимости точного контроля каждой стадии технологического процесса во время их изготовления.

Тем не менее, расширяющий спрос на гибридные жестко-гибкие многослойные платы для микроволновых устройств обусловлен рядом важных факторов, таких как обеспечение координации соединений с высокой плотностью монтажа, использование гибких композитных материалов, которые гарантируют увеличение массы габаритные параметры проектируемых устройств, стабильность электродинамических характеристик под воздействием внешних факторов - температуры, давления, влажности и др.

В настоящее время многослойные гибкие печатные платы используются для [2]:

- устройства радиочастотной и микроволновой связи, обеспечивающие возможность взаимного перемещения подключенных модулей и перегибов во всех направлениях;
- резонансные элементы микроволновых трактов и датчиков;
- медицинские имплантаты, а также чувствительные элементы ультразвукового и эндоскопического оборудования;
- микрополосковые излучатели и антенны, в том числе для радиочастотных идентификационных устройств (RFID) [3-5];

Технологии гибких многослойных печатных плат продолжают развиваться и, несомненно, будут играть важную роль в интеграции электронных устройств.

Это направление исследований очень актуально для развития систем Интернета вещей и напрямую влияет на скорейшее внедрение таких решений в различные сферы человеческой деятельности и их наиболее эффективное использование.

Таким образом, после анализа нововведений в структуру конструкции многослойных печатных плат СВЧ-диапазона становится очевидна их зависимость от технологии интеграции трехмерных структур. Такие технологии должны иметь конкурентное преимущество в рыночных условиях и предоставлять максимальные функциональные возможности микроволновых устройств в сочетании с минимальными параметрами массы и размера и низкой стоимостью.

### Результаты и методология

Одной из технологий, которая имеет большой потенциал для развертывания с ее помощью систем IoT (Internet of Things), является технология радиочастотной идентификации (RFID - Radio Frequency IDentification). Базовая система радиочастотной идентификации состоит из четырех основных компонентов. Все компоненты

системы представлены на рис. 1: считывающее устройство (RFID reader); считывающее устройство (transponder, tag, RFID tag); антенна считывателя, хост-компьютер.

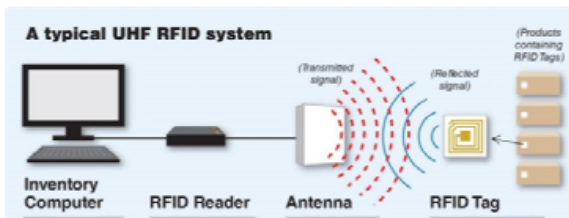


Рис. 1. Структура UHF RFID системы

В работе более подробно рассматривается считывающее устройство – RFID метка.

Структура любой метки может быть представлена в виде двух частей:

1. Микросхема (чип), которая хранит информацию, а также кодирует/декодирует сигнал;
2. Антенна, которая принимает и передает сигнал [4].

Моделирование RFID метки прошло при помощи программного обеспечения NI AWR Design Environment 14. Геометрические параметры метки представлены на рис. 2. В данной модели микросхема не учитывалась и были сделаны два порта, которые подключают антенну метки к чипу. Затем была представлена модель метки в трехмерном пространстве, как показано на рис. 3.

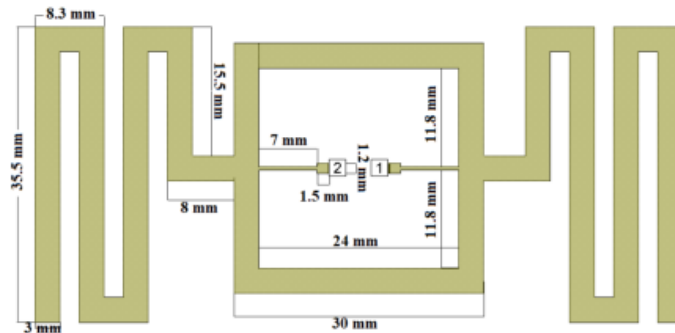


Рис. 2. Топология RFID метки

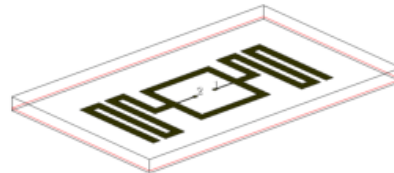


Рис. 3. 3D модель RFID метки в NI AWR Design Environment 14

После этого, были проведены замеры следующих электродинамических параметров:

- Кoeffфициенты матрицы рассеяния (параметр S11);
  - Кoeffфициент стоячей волны по напряжению (KCBH/VSWR);
  - Вертикальные и горизонтальные диаграммы направленности, а также общее значение.
- Результаты моделирования представлены на 4, 5, 6 и 7 рисунках:

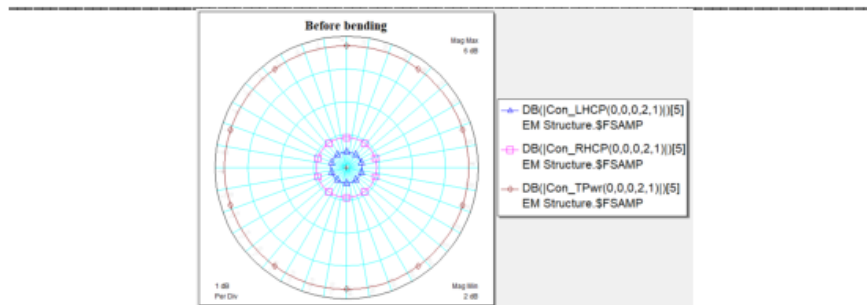


Рис. 4. Вертикальные диаграммы направленности и общее значение до проведения гибких деформаций

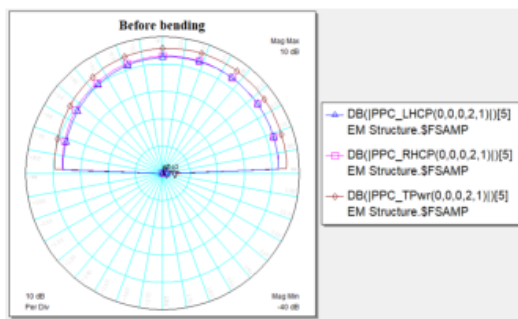


Рис. 5. Горизонтальные диаграммы направленности и общее значение до проведения гибких деформаций

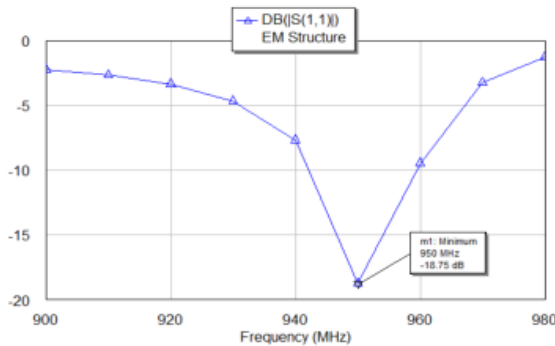
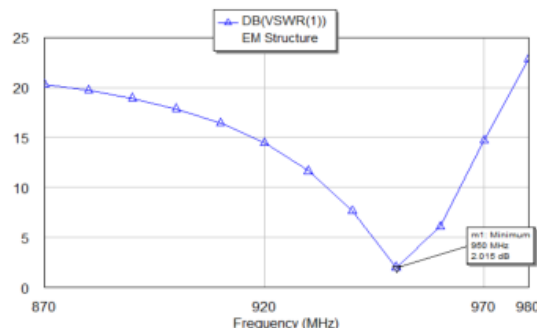
Рис. 6. S<sub>11</sub> параметр до проведения гибких деформаций

Рис. 7. VSWR до проведения гибких деформаций

После расчетов параметров метки в обычном состоянии, некоторые части антennы были размещены в разных слоях. Это позволило достичь эффекта сгиба исследуемой RFID метки. Пример показан на рисунке 8. Топология модели после изгиба представлена на рис. 9.

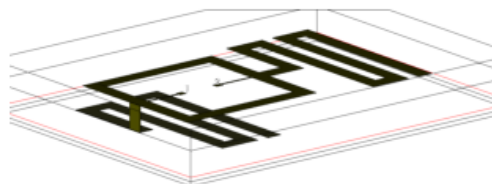


Fig. 8. Модельгиба RFID метки в NI AWR Software

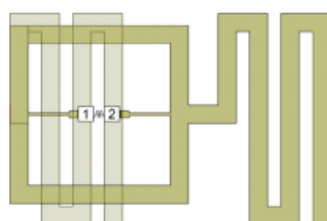


Рис. 9. Топология RFID метки после проведения гибких деформаций

Это позволило смоделировать такие обстоятельства, при которых на метку оказывает влияние гибкие деформации, например, во время каких-либо логистических операций с товаром. На рисунках 10, 11, 12 и 13 представлены одни данные после расчетов:

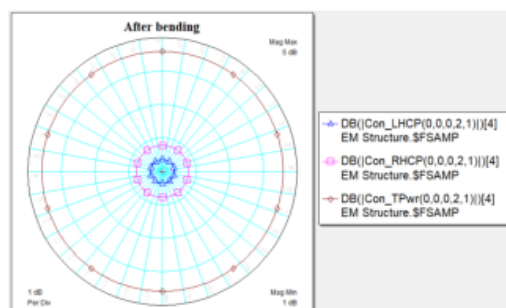


Рис. 10. Вертикальные диаграммы направленности и общее значение после проведения гибких деформаций

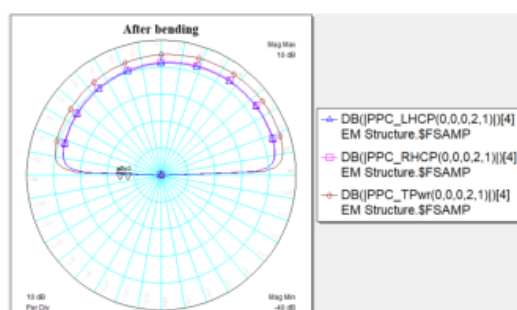


Рис. 11. Горизонтальные диаграммы направленности и общее значение после проведения гибких деформаций

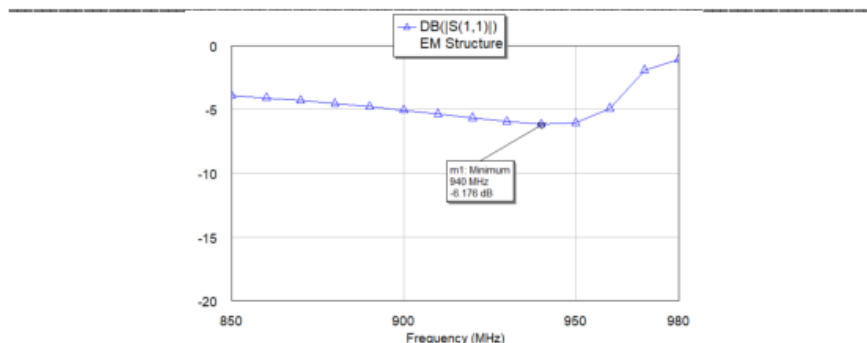
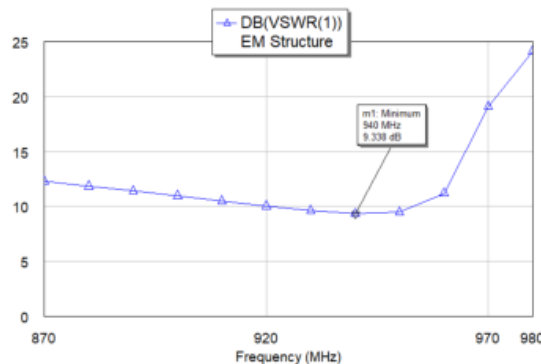
Рис. 12. S<sub>11</sub> параметр после проведения гибких деформаций

Рис. 13. VSWR после проведения гибких деформаций

После анализа результатов моделирования становится понятно, что S<sub>11</sub>.параметр и КСВН претерпели гораздо более значительные изменения по сравнению с диаграммами направленности. Изменения очень скожи и характеризуются значительным ухудшением и изменением резонансной частоты как для S<sub>11</sub>.параметра, так и для КСВН.

Далее следует табл. 1, в которой отображаются изменения в числовой форме.

Таблица 1

Изменения электродинамических параметров

	До сгиба	После сгиба
Резонансная частота, МГц	950	940
S <sub>11</sub> , dB	-18,75	-6,176
VSWR	1,26	2,93

### Заключение

Таким образом, в представленной работе было определено, какие из электродинамических параметров RFID меток оказывают самое большое влияние на успешное считывание: коэффициенты матрицы рассеяния, коэффициент стоячей волны по напряжению, диаграммы направленности в горизонтальной и вертикальной плоскостях, а также общая. Данные результаты были получены при помощи моделирования в пакете NI AWR Design Environment 14. Моделирование было разделено на два этапа. Первый этап – метка находилась в своем стандартном положении, то есть без каких-либо гибких деформаций. Второй этап – метка подверглась гибким деформациям и, соответственно, меняла свою форму. После обработки выходных данных выяснилось, что диаграммы направленности некоторым образом изменились, но не очень сильно. В свою очередь, гораздо сильнее претерпели изменения коэффициент стоячей волны по напряжению, а также коэффициент матрицы рассеяния.

Статья подготовлена в ходе/в результате проведения исследования/работы (№ 19-04-005) в рамках Программы «Научный фонд Национального исследовательского университета „Высшая школа экономики“ (НИУ ВШЭ)» в 2019 — 2020 гг. и в рамках государственной поддержки ведущих университетов Российской Федерации «5-100».

#### Литература

1. *Yelizarov A.A., Zaktirova E.A.* Microstrip microwave devices on printed circuit boards with multilayer dielectric substrates. M.: Publishing House "Media Publisher", 2016 (in russian).
2. *Yelizarov A.A., Kastorskaya A.S., Kukharenko A.S.* Patent № 2 408 115 RU. RFID-antenna. 2010. Bull. № 36.
3. *Yelizarov A.A., Bashkevich S.V., Lavrukhin I.R., Larionov A.A., Karavashina V.N.* Development of intelligent RFID-system for logistics Processes // Systems of Signals Generating and Processing in the Field of on Board Communications, IEEE Conference #46544, 2019.
4. *Lavrukhin I., Larionov A., Yelizarov A.A.* Analysis and modeling of the protocol of radio frequency identification of vehicles on road stations // SYNCHROINFO 2018 Systems of Signal Synchronization, Generating and Processing in Telecommunications, IEEE Conference # 43613. IEEE, 2018.
5. *Yelizarov A.A., Nesterenko A.N., Zaktirova E.A., Kukharenko A.S.* Investigation of microstrip antenna for RFID-technology on circular meander-line // T-Comm: telecommunications and transport. 2017. Vol. 11 № 9, pp. 37-42.

